

Явные s - стадийные методы Рунге-Кутты

1 Свойства и структура алгоритма

- 1.1 Общее описание алгоритма
- 1.2 Обобщение для ОДУ порядка выше первого
- 1.3 Математическое описание алгоритма
- 1.4 Вычислительное ядро алгоритма
- 1.5 Макроструктура алгоритма
- 1.6 Схема реализации последовательного алгоритма
- 1.7 Последовательная сложность алгоритма
- 1.8 Информационный граф
- 1.9 Описание ресурса параллелизма алгоритма
- 1.10 Входные и выходные данные алгоритма
- 1.11 Свойства алгоритма
- 1.12 Коэффициенты Бутчера в зависимости от степени аппроксимации
- 1.13 Пример

1.1 Общее описание алгоритма

Явные методы Рунге-Кутты - класс численных методов решения задачи Коши для обыкновенных дифференциальных уравнений (ОДУ) и их систем.

Далее будут рассмотрены численные методы решения задачи Коши для обыкновенных дифференциальных уравнений (ОДУ) вида

$$\frac{du(t)}{dt} = f(t, u), \quad t > 0$$
$$u(0) = u_0$$

или систем ОДУ

$$\frac{du(t)}{dt} = f(t, u), \quad \text{где } u = \begin{pmatrix} u_1 \\ u_2 \\ \dots \\ u_m \end{pmatrix}, \quad f = \begin{pmatrix} f_1 \\ f_2 \\ \dots \\ f_m \end{pmatrix}$$
$$u(0) = u_0$$

— векторы столбцы искомых функций и правых частей соответственно.

Суть алгоритма в том, что в точках расчетной области вычисляется искомое решение. Для простоты будет рассмотрена равномерная сетка. (В реальных расчетах применяются и неравномерные сетки.)

Введем сеточную функцию u_τ определенную в узлах сетки и представляющую собой

совокупность приближенных значений искомой функции, и f^τ — значения правой части в узлах сетки.

Задача состоит в построении численного алгоритма вычисления сеточной функции, приближающей решение ОДУ.

1.2 Обобщение для ОДУ порядка выше первого

$$\frac{d^m u}{dt^m} = g(t, u, \frac{du}{dt}, \dots, \frac{d^{m-1}u}{dt^{m-1}}), \quad t > 0$$

Н.У.:

$$u(0) = a_0, \quad \frac{du(0)}{dt} = a_1, \quad \dots, \quad \frac{d^{m-1}u(0)}{dt^{m-1}} = a_{m-1}$$

положим замену

$$u_1 = u, \quad u_2 = \frac{du_1}{dt}, \quad u_3 = \frac{du_2}{dt}, \quad \dots, \quad u_m = \frac{du_{m-1}}{dt}$$

$$\frac{du_m}{dt} = g(t, u_1, u_2, \dots, u_m)$$

и соответствующие ей начальные условия: $u_i(0) = a_{i-1}, \quad i = 1, 2, \dots, m.$

Такой заменой задача Коши для m -ой производной приводится к системе дифференциальных уравнений, указанной выше.

1.3 Математическое описание алгоритма

Распространенный способ получения простейших одношаговых расчетных схем для численного решения уравнения (1) заключается в следующем. Из формулировки задачи следует, что

$$\int_{t_n}^{t_n+\tau} \frac{du}{dt} dt = \int_{t_n}^{t_n+\tau} f(t, u) dt,$$

или

$$u(t_n + \tau) = u(t_n) + \int_{t_n}^{t_n+\tau} f dt.$$

Интеграл в правой части может быть вычислен с помощью явных s -стадийных методов Рунге-Кутты.

S -стадийный явный метод для численного решения задачи Коши для обыкновенного дифференциального уравнения (1):

$$\begin{aligned} k_1 &= f(t_n, u_n), \\ k_2 &= f(t_n + c_2\tau, u_n + \tau a_{21}k_1), \\ k_3 &= f(t_n + c_3\tau, u_n + \tau(a_{31}k_1 + a_{32}k_2)), \\ &\dots, \\ k_s &= f(t_n + c_s\tau, u_n + \tau(a_{s1}k_1 + \dots + a_{s,s-1}k_{s-1})), \\ u_{n+1} &= u_n + \tau(b_1k_1 + \dots + b_s k_s) \end{aligned}$$

где k_j — промежуточные вспомогательные величины (квадратурная формула).

Коэффициенты, определяющие конкретный метод, могут быть представлены в виде *таблицы Бутчера* (Таблица 1). Нулевые коэффициенты a_{jk} , при $j \geq i$, как правило, в таблице Бутчера для явного метода не указывают.

Таблица 1

0					
c_2	a_{21}				
c_3	a_{31}	a_{32}			
...		
c_s	a_{s1}	a_{s2}	...	a_{ss-1}	
	b_1	b_2	...	b_{s-1}	b_s

Здесь коэффициенты c_j – узлы некой квадратурной формулы, b_j – веса соответствующей квадратурной формулы, набор коэффициентов a_{jk} необходим для экстраполяции значений функции правой части в точки, связанные с узлами квадратуры ($j = 1, 2, \dots, s$, $k = 1, 2, 3, \dots, s-1$).

Обычно также используют условие, предложенное Куттой без объяснений и не являющееся обязательным, но упрощающее вывод условий порядка аппроксимации для многостадийных методов:

$$c_n = \sum_j^s a_{nj}$$

1.4 Вычислительное ядро алгоритма

Вычислительное ядро алгоритма можно считать состоящим из двух частей - вычисление промежуточных значений k_i для каждого шага на заданной сетке c_i , где $i = 1, 2, \dots, s$ и

вычисление линейной комбинации $\sum_{i=1}^s k_i \cdot b_i$. В первой части вычислительное ядро

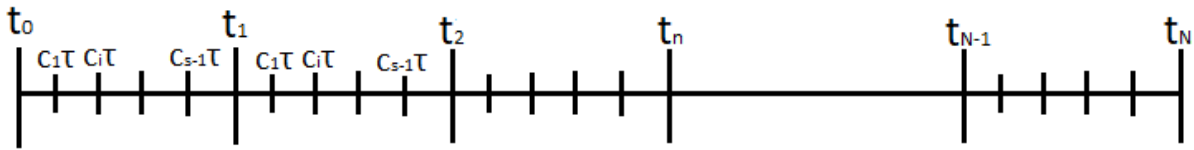
составляют последовательности операций вычисления функции f в точке, а также умножение и сложение. Во второй части в вычислительном ядре остаются только последовательности умножения и сложения.

Сюда картинку

1.5 Макроструктура алгоритма

Макроструктура алгоритма может быть представлена как совокупность последовательных вычислений значений функции в точках и их линейной комбинации.

1.6 Схема реализации последовательного алгоритма



1) $t_0 = c_1\tau = 0$

$$u(0) = u_0 \text{ (начальные условия)}$$

2) Последовательность исполнения метода следующая (для n-го шага):

1. Вычисляем величину k_1 , пользуясь начальными условиями и таблицей Бутчера ($c_1 = 0$):

$$k_1 = f(t_n, u_n)$$

2. Вычисляем величину k_2 , пользуясь предыдущими расчетами и таблицей Бутчера (c_2, a_{21}):

$$k_2 = f(t_n + c_2\tau, u_n + \tau a_{21}k_1)$$

3. Вычисляем величину k_i , пользуясь предыдущими расчетами и таблицей Бутчера ($c_i, a_{i1}, a_{i2} \dots a_{i,i-1}$):

$$k_i = f(t_n + c_i\tau, u_n + \tau a_{i1}k_1 + \dots + \tau a_{i,i-1}k_{i-1})$$

4. Вычисляем величину k_s , пользуясь предыдущими расчетами и таблицей Бутчера ($c_s, a_{s1}, a_{s2} \dots a_{s,s-1}$):

$$k_s = f(t_n + c_s\tau, u_n + \tau a_{s1}k_1 + \dots + \tau a_{s,s-1}k_{s-1})$$

5. Вычисляем величину u_{n+1}, t_{n+1} , пользуясь предыдущими расчетами:

$$u_{n+1} = u_n + \tau(b_1k_1 + \dots + b_s k_s)$$

$$t_{n+1} = t_n + c_s\tau$$

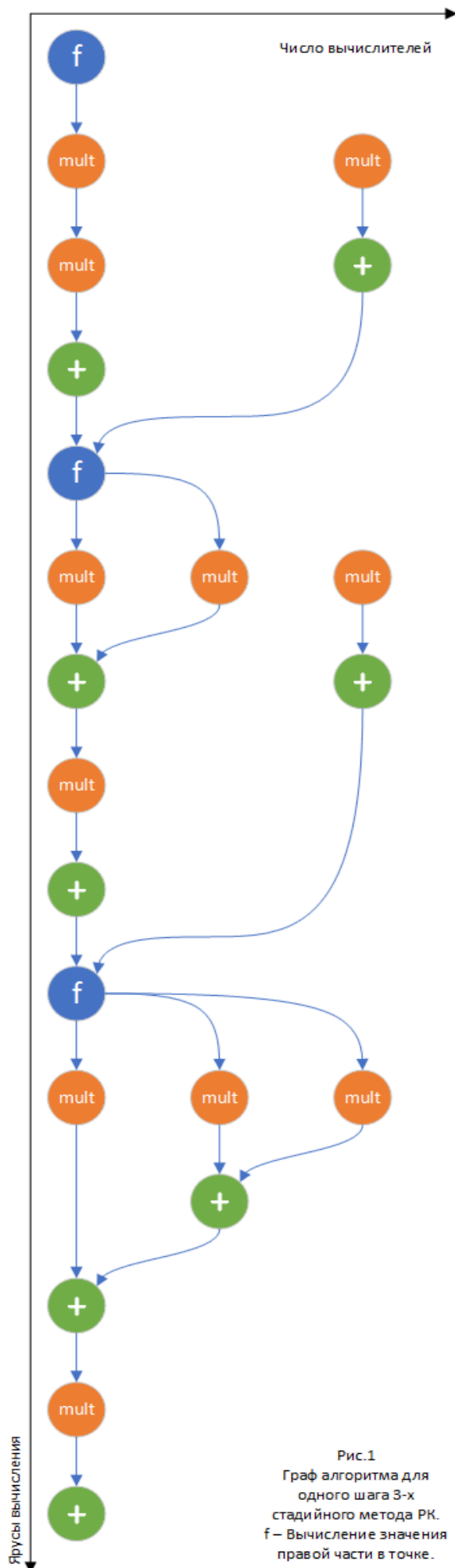
3) Далее считаем тоже самое для шагов $n+1, n+2, \dots, N$.

1.7 Последовательная сложность алгоритма

Для вычисления значений функции $U(t)$ в расчетной области за N шагов S - стадийным методом Рунге - Кутты требуется:

- $N * S$ вычислений значений функции в точке,
- $N * [(S*S/2 + 3/2*S - 1) + S * P(f(t,u))]$ сложений,
- $N * [(S*S/2 + 5/2*S - 1) * S * M(f(t,u))]$ умножений.

Таким образом, при классификации по последовательной сложности, явный метод Рунге - Кутты относится к алгоритмам с линейной сложностью по числу шагов N и квадратичная по числу стадий S .



1.8 Информационный граф

Информационный граф одного шага явного метода Рунге - Кутты для $S = 3$ представлен на рис.1, последующие шаги имеют тот же вид. Как следует из анализа графа, алгоритм является практически последовательным как при выполнении шагов, так и при выполнении стадий.

1.9 Описание ресурса параллелизма

Для решения дифференциального уравнения методом Рунге - Кутты за N шагов с S стадиями в параллельном варианте:

ЯПФ - Ярусно-параллельная форма графа алгоритма

$$\text{Высота ЯПФ} = N * (3 + \log_2 S + 3 * (S-2) + \sum_{s=2}^S \log_2(s-1))$$

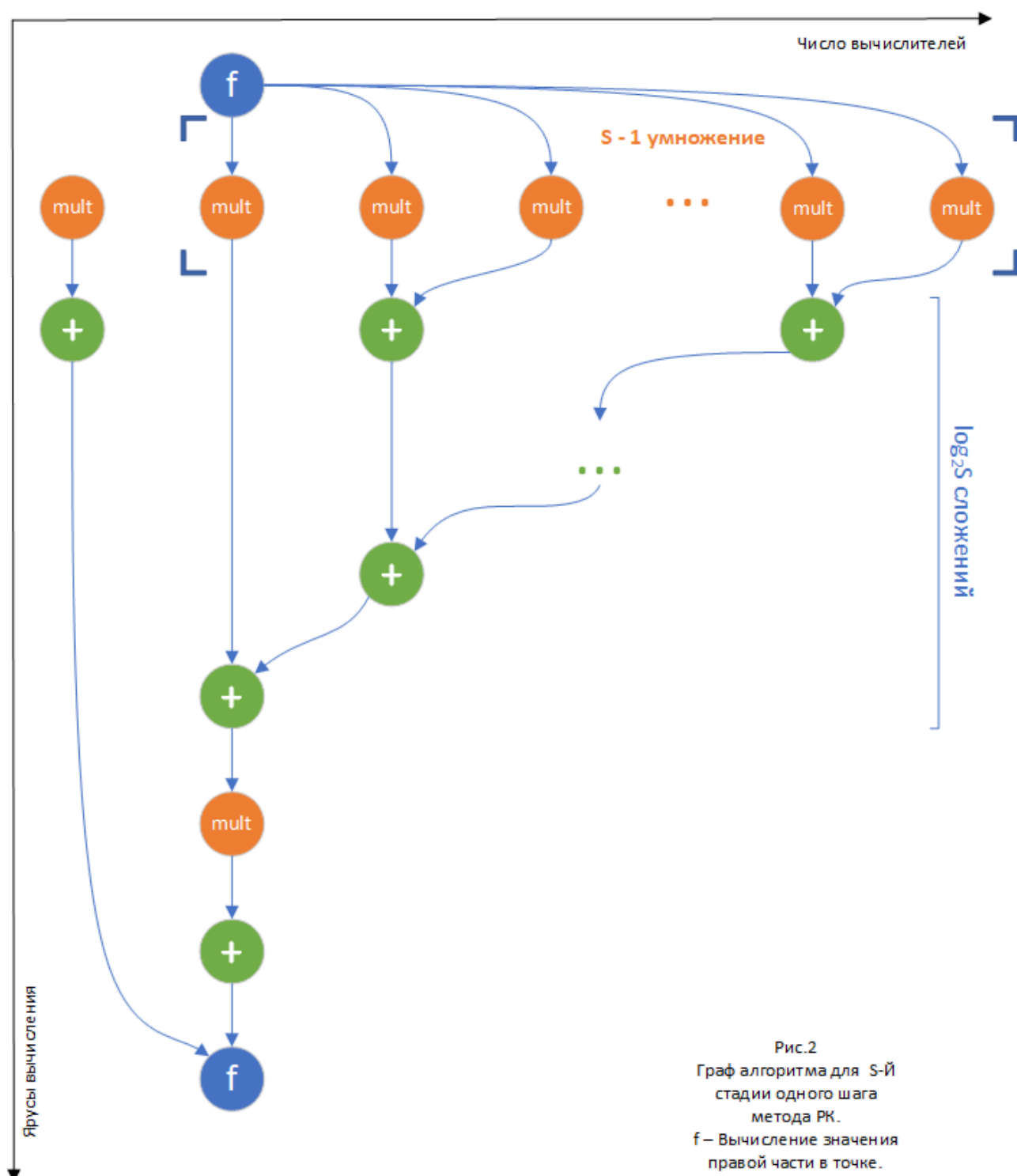
$$\text{Ширина ЯПФ} = S$$

$$\text{Общее число операций} \sim N * (3 + 2 * S + S * \log_2 S + \sum_{s=2}^S (s-1) * \log_2(s-1))$$

$$\text{Доля последовательных операций} \sim 1/S$$

$$\text{Максимальное ускорение} = S$$

На рис.2 представлен параллельный граф алгоритма S -й стадии, но при высоком теоретическом ускорении требуется очень частая пересылка данных между процессами, что значительно снижает ускорение. На практике скорость выполнения алгоритма на параллельной машине не превышает последовательную реализацию.



1.10 Входные и выходные данные алгоритма

Входные данные: функция $f(t,u)$ - правая часть дифференциального уравнения, $u(0)$ - начальные условия.

Выходные данные: $((x_0, u_0), (x_1, u_1), \dots, (x_n, u_n), (x_{n+1}, u_{n+1}), \dots, (x_N, u_N))$ - вектор значений функций в точках расчётной сетки.

Объём выходных данных: $2N$.

1.11 Свойства алгоритма

Алгоритм не параллелится.

Алгоритм в рамках выбранной версии полностью детерминирован.

1.12 Коэффициенты Бутчера в зависимости от степени аппроксимации

Первый порядок аппроксимации: метод Эйлера (таблица 2).

Таблица 2

0	0
	1

Второй порядок аппроксимации: метод Эйлера с пересчетом (таблица 3).

Таблица 3

0		
1/2	1/2	
	0	1

Третий порядок аппроксимации: метод Хойна (таблица 4).

Таблица 4

0			
1/3	1/3		
2/3	0	2/3	
	1/4	0	3/4

Третий порядок аппроксимации: метод Рунге–Кутты (таблица 5).

Таблица 5

0			
1/2	1/2		
1	0	1	
	1/6	2/3	1/6

Четвёртый порядок аппроксимации: классический метод Рунге–Кутты (таблица 6).

Таблица 6

0				
1/2	1/2			
1/2	0	1/2		
1	0	0	1	
	1/6	2/6	2/6	1/6

Четвёртый порядок аппроксимации: правило трех восьмых (таблица 7). Этот метод имеет, по-видимому, наименьшую погрешность среди явных схем Рунге–Кутты четвертого порядка аппроксимации.

Таблица 7

0				
1/3	1/3			
2/3	-1/3	1		
1	1	-1	1	
	1/8	3/8	3/8	1/8

Шестой порядок аппроксимации: метод Бутчера (таблице 8).

Таблица 8

0							
1/2	1/2						
2/3	2/9	4/9					
1/3	7/36	2/9	-1/12				
5/6	-35/144	-55/36	35/48	15/8			
	4						
1/6	-1/360	-11/36	-1/8	1/2	1/10		
1	-41/26	22/13	43/156	-118/3	32/195	80/39	
	0			9			
	13/200	0	11/40	11/40	4/25	4/25	13/200

1.13 Пример (N = 2, s = 4)

Найти приближённое решение задачи Коши $y' - 3x^2y - x^2e^{x^3} = 0, y(0) = 0$ методом

Рунге–Кутты 4 порядка (т.е. s = 4) на заданном отрезке $x \in [0; 1]$ с шагом h = 0,1.

$$y(x_{n+1} + h) = y(x_n) + \int_{x_n}^{x_n+h} f(x, y) dx$$

Вход: $f(x, y) = 3x^2y + x^2e^{x^3}, y_1 = 0$

n = 1

$$k_1^{(1)} = f(x_1 + c_1 h, y_1) = f(0, 0) = 0,$$

$$\begin{aligned}
k_2^{(1)} &= f(x_1 + c_2 h, y_1 + h a_{21} k_1^{(1)}) = f(h/2, 0) = f(0.05, 0) = 0.0025, \\
k_3^{(1)} &= f(x_1 + c_3 h, y_1 + h(a_{31} k_1^{(1)} + a_{32} k_2^{(1)})) = f(h/2, k_2 h/2) = f(0.05, 0.0000625) = 0.002501, \\
k_4^{(1)} &= f(x_1 + c_4 h, y_1 + h(a_{41} k_1^{(1)} + a_{42} k_2^{(1)} + a_{43} k_3^{(1)})) = f(h, h k_3^{(1)}) = f(0.1, 0.0002501) = 0.010018, \\
y_2 &= y_1 + h(b_1 k_1^{(1)} + b_2 k_2^{(1)} + b_3 k_3^{(1)} + b_4 k_4^{(1)}) = 0 + 0.1(0 + 0.000833 + 0.000834 + 0.00167) = 0.000333 \\
x_2 &= x_1 + c_4 h = 0.1
\end{aligned}$$

n = 2

$$\begin{aligned}
k_1^{(2)} &= f(x_2 + c_1 h, y_2) = f(0.1, 0.000333) = 0.01002, \\
k_2^{(2)} &= f(x_2 + c_2 h, y_2 + h a_{21} k_1^{(2)}) = f(x_2 + h/2, y_2) = f(0.15, 0.000333) = 0.022632, \\
k_3^{(2)} &= f(x_2 + c_3 h, y_2 + h(a_{31} k_1^{(2)} + a_{32} k_2^{(2)})) = f(x_2 + h/2, y_2 + k_2^{(2)} h/2) = f(0.15, 0.001465) = 0.022675, \\
k_4^{(2)} &= f(x_2 + c_4 h, y_2 + h(a_{41} k_1^{(2)} + a_{42} k_2^{(2)} + a_{43} k_3^{(2)})) = f(x_2 + h, y_2 + h k_3^{(2)}) = f(0.2, 0.002601) = 0.040634, \\
y_3 &= y_2 + h(b_1 k_1^{(2)} + b_2 k_2^{(2)} + b_3 k_3^{(2)} + b_4 k_4^{(2)}) = 0.002687 \\
x_3 &= x_2 + c_4 h = 0.2
\end{aligned}$$

Выход: ((0,0), (0.1,0.000333), (0.2,0.002687))